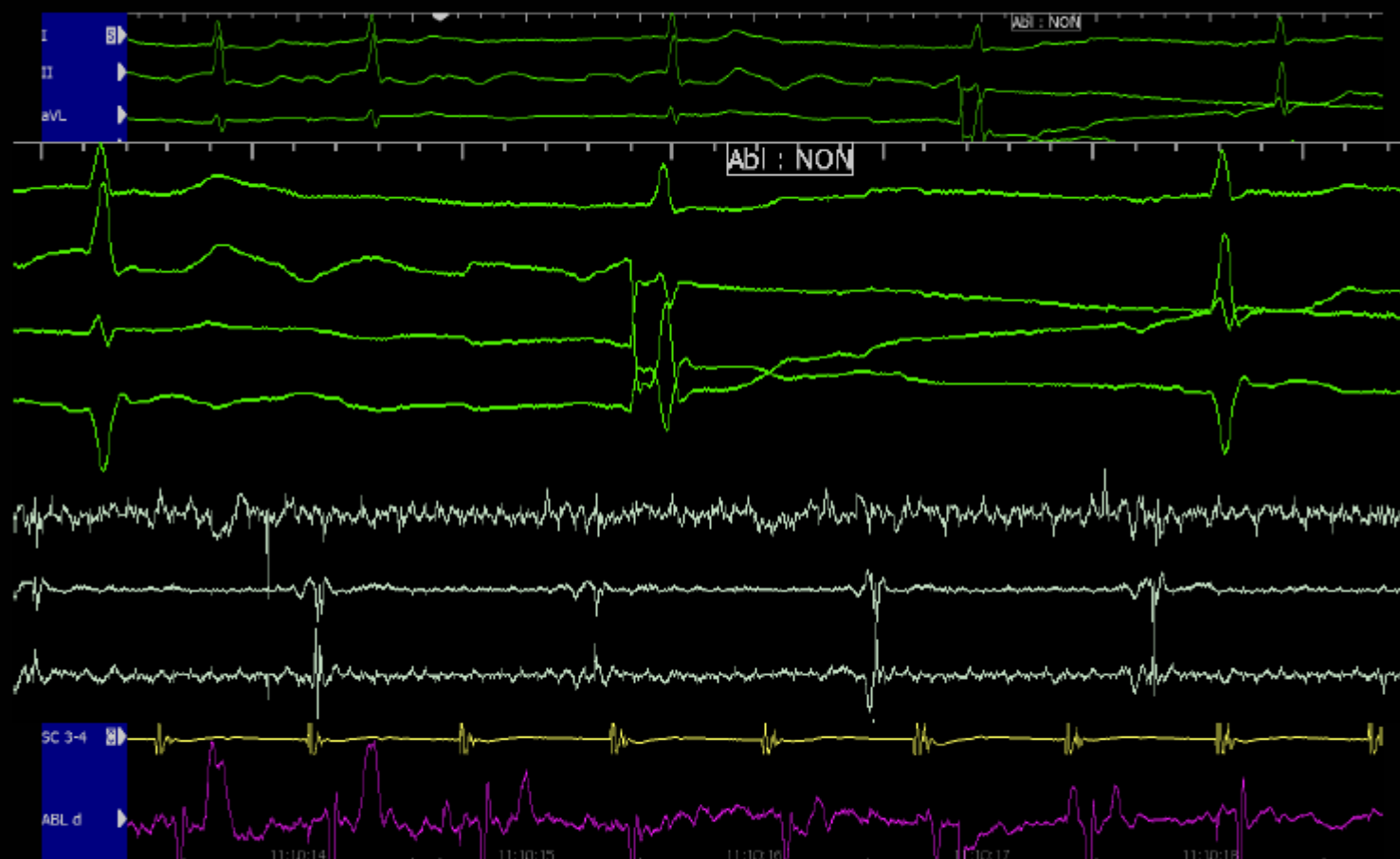


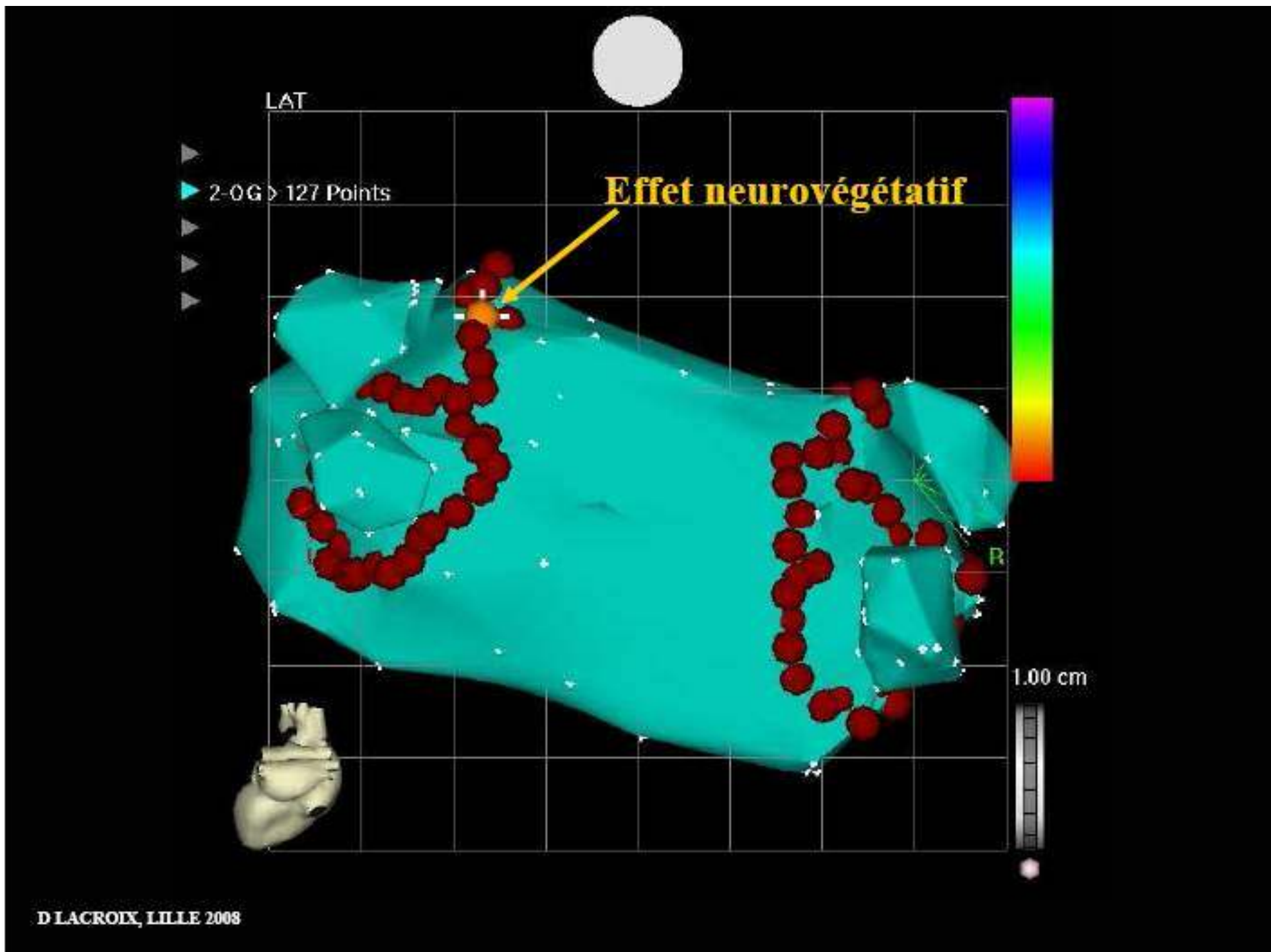
Ablation de la fibrillation atriale et SNA

D. Lacroix, Université de Lille

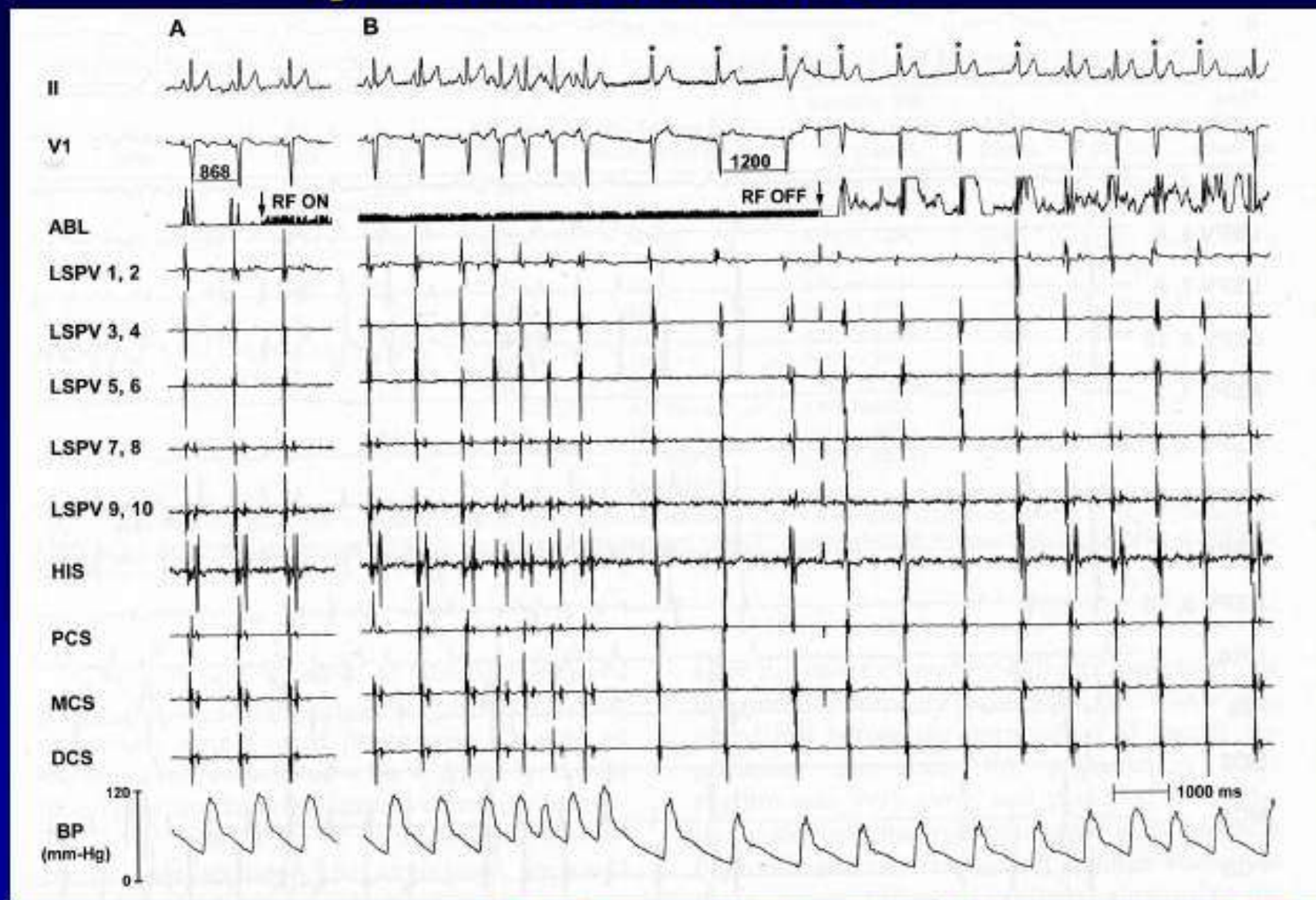


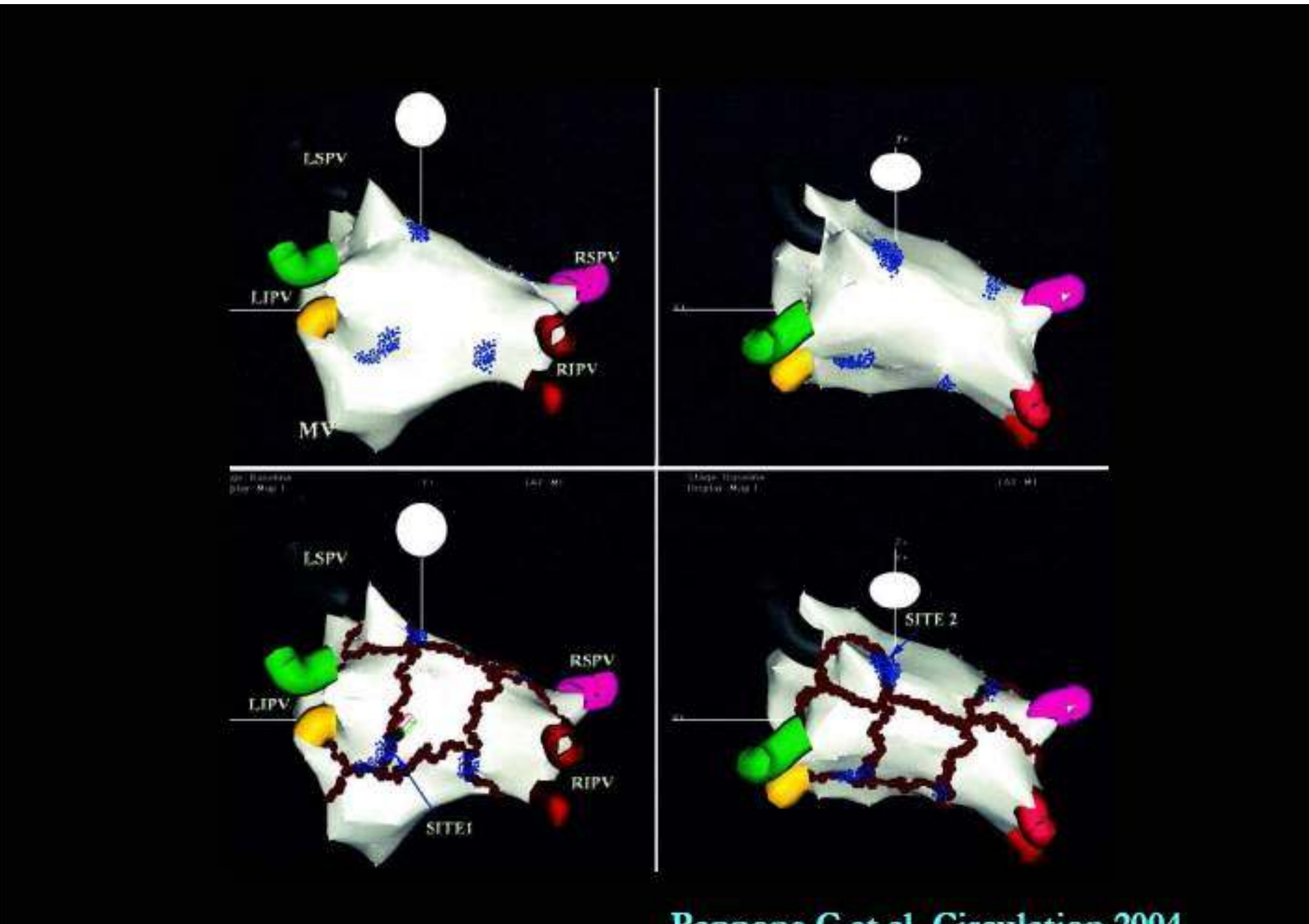
Pacing du SC et ablation : BAV de haut degré régressif





Réaction brady-hypotension type Bezold-Jarisch pendant un tir de RF dans la VPSG

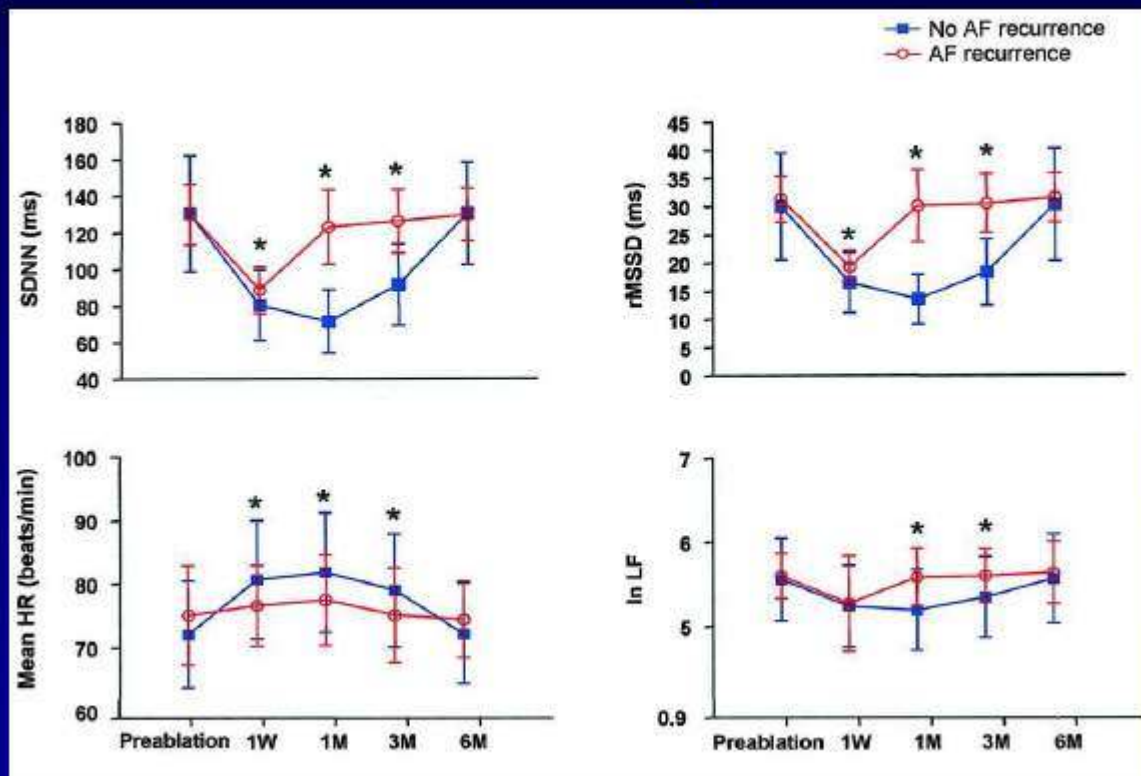




Pappone C et al. Circulation 2004

D LACROIX, LILLE 2008

Atténuation vagale dans les 3 mois après exclusion circulaire des veines pulmonaires

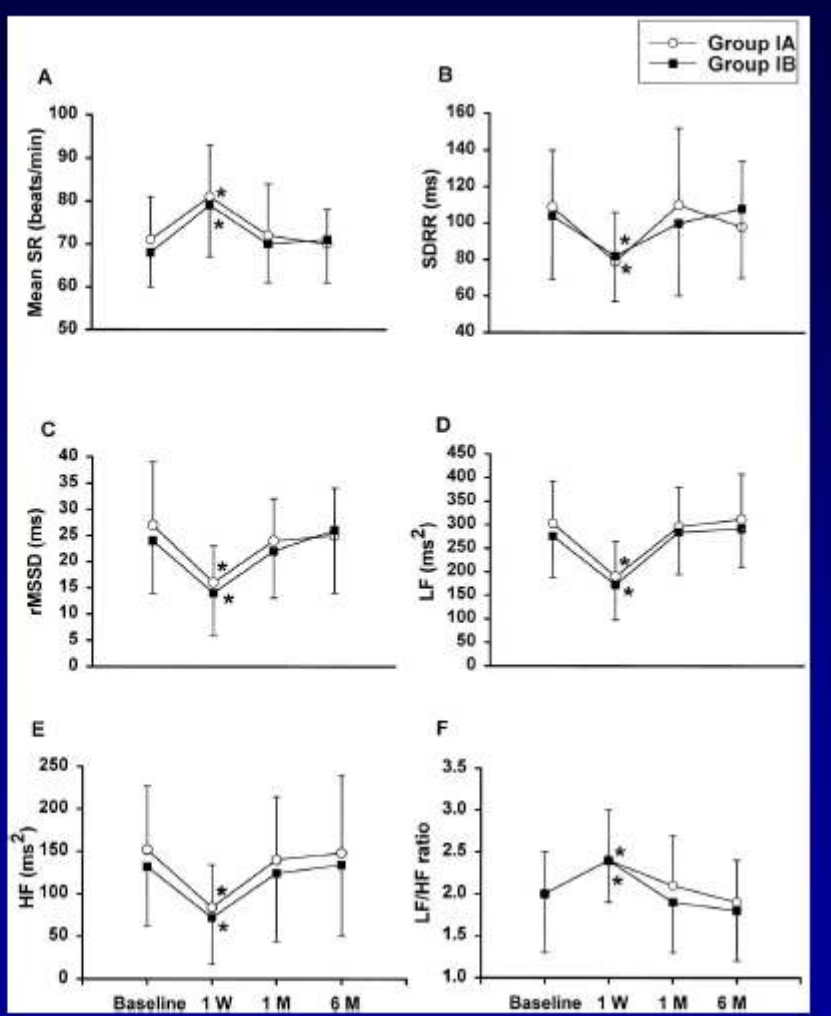


Pappone C et al. Circulation 2004

37 pts, ablation
7-13 mm dans les VP
1A = avec BJ
1B = sans réaction BJ

Hsieh et al.
Circulation 1999

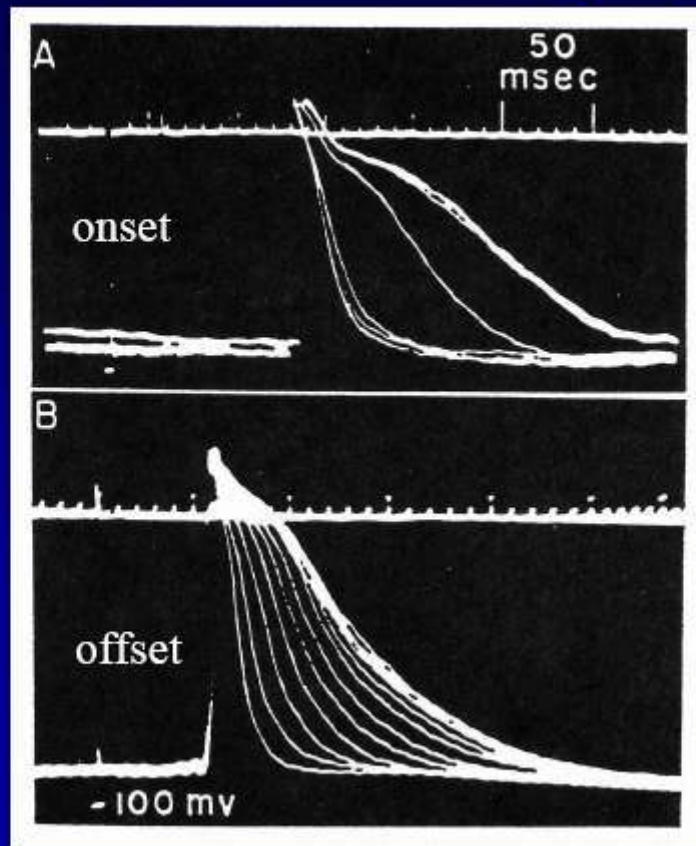
D LACROIX, LILLE 2008



PA de fibre atriale de chien in situ : effet de la stimulation vagale (1953)



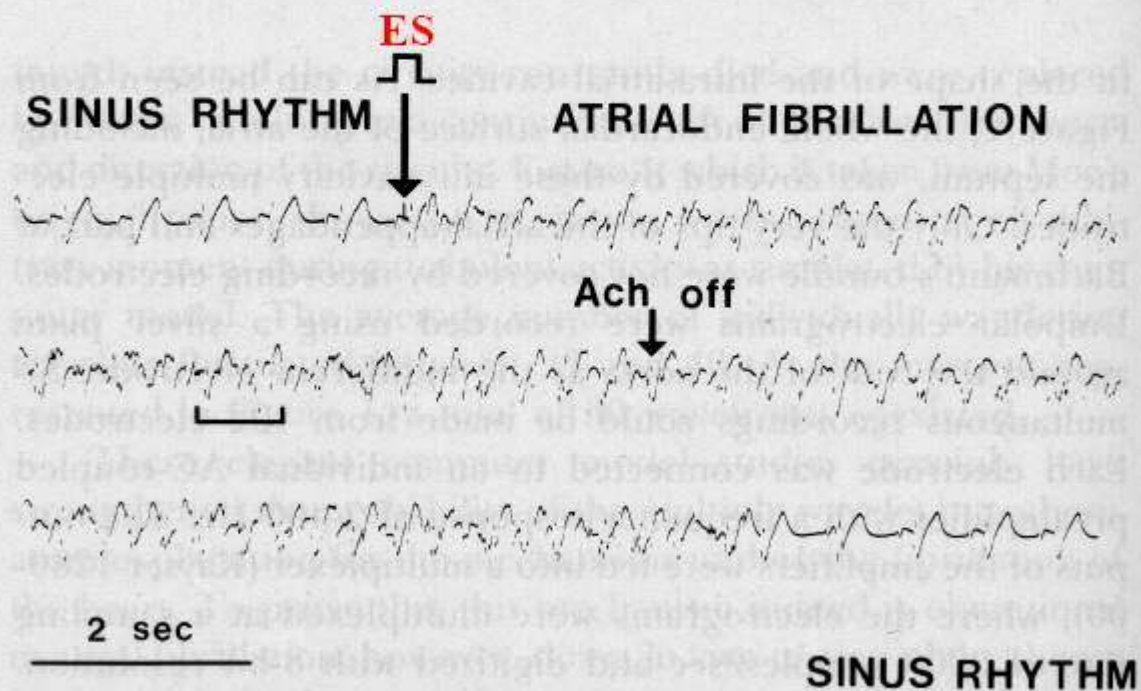
Hoffman et
Suckling
Am J Physiol
1953



Egm de cœur de chien isolé-perfusé : effet de S2 + perfusion d'Ach (1982)



Allessie, Lammers, Bonke, and Hollen



PA de fibre atriale de lapin : effet de la superfusion d'Ach (1989)



Table 1. Values (mean \pm SD) of sinus cycle length (SCL), atrial refractory periods (RP), resting potential, amplitude, and action potential durations at 50% and 90% of repolarization (APD 50 and APD 90) at control and after acetylcholine (1.4×10^{-5} M) in the 16 preparations

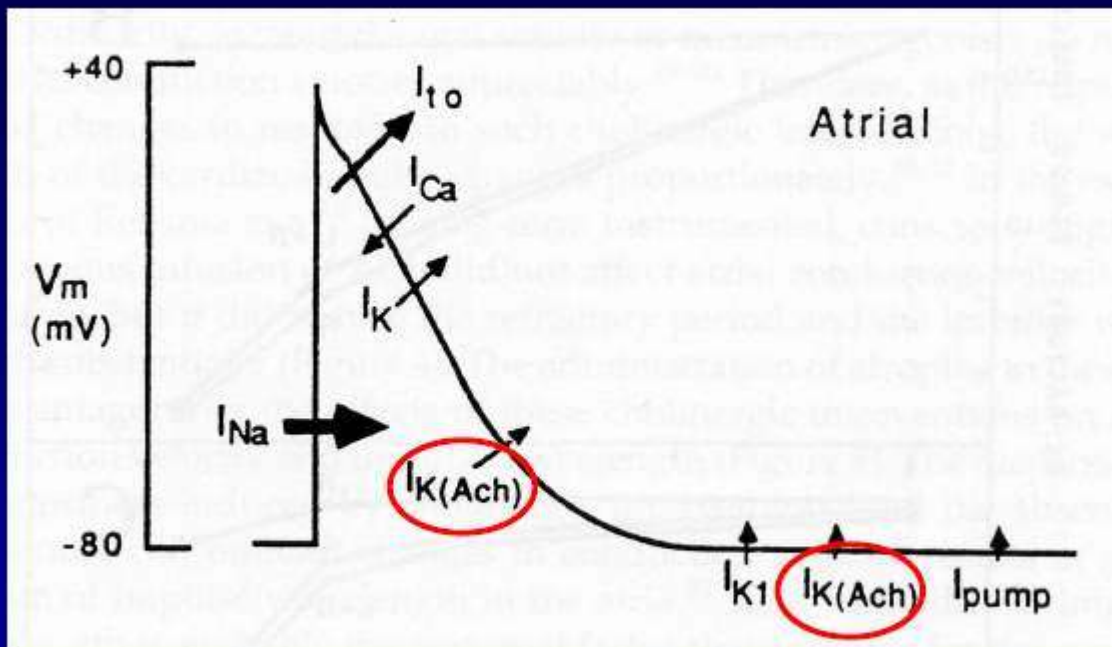
	<i>Control</i>	<i>Acetylcholine</i>
SCL (msec)	496 \pm 178	1034 \pm 537***
RP (msec)	56 \pm 26	45 \pm 23
Resting potential (mV)	75 \pm 8	72 \pm 11
Amplitude (mV)	84 \pm 8	78 \pm 14
APD 50 (msec)	21 \pm 8	16 \pm 5*
APD 90 (msec)	60 \pm 15	40 \pm 11**

* $P < .01$, ** $P < .001$, *** $P < .0001$.

Le Heuzey JY in « The atrium in health and disease » 1989

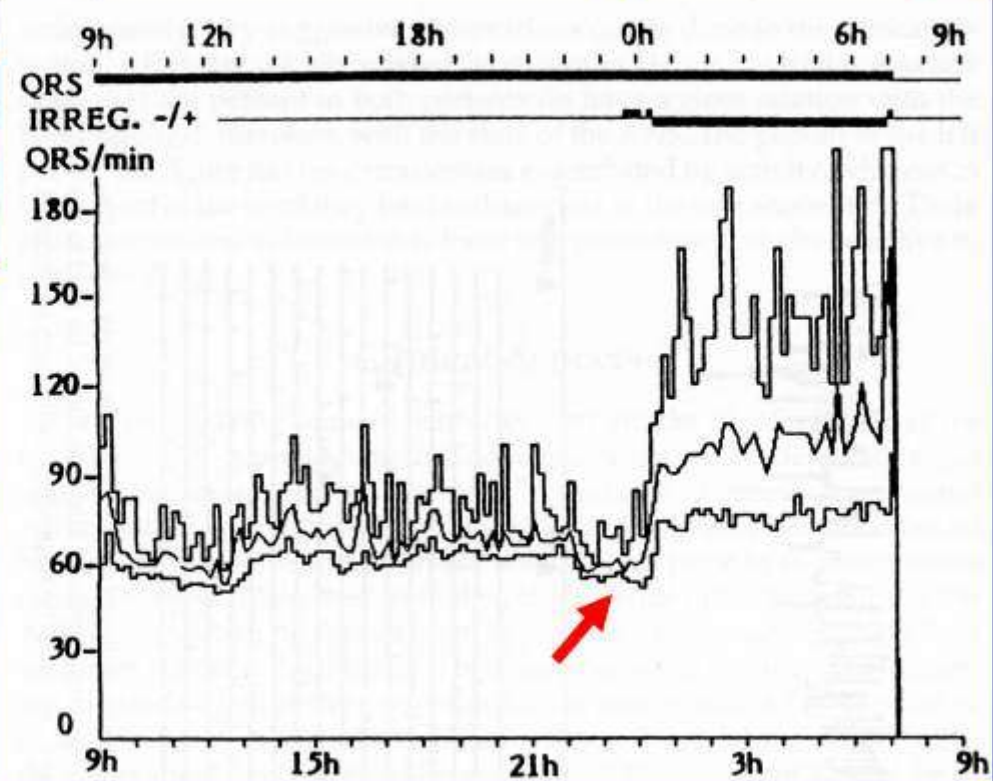
D LACROIX, LILLE 2008

Canaux potassiques Ach-dépendants couplés aux récepteurs M via protéine G (1985)



Pfaffinger PJ et al. Nature 1985

FA dite vagale



Coumel P in « The atrium in health and disease » 1989

FA dite vagale (II)

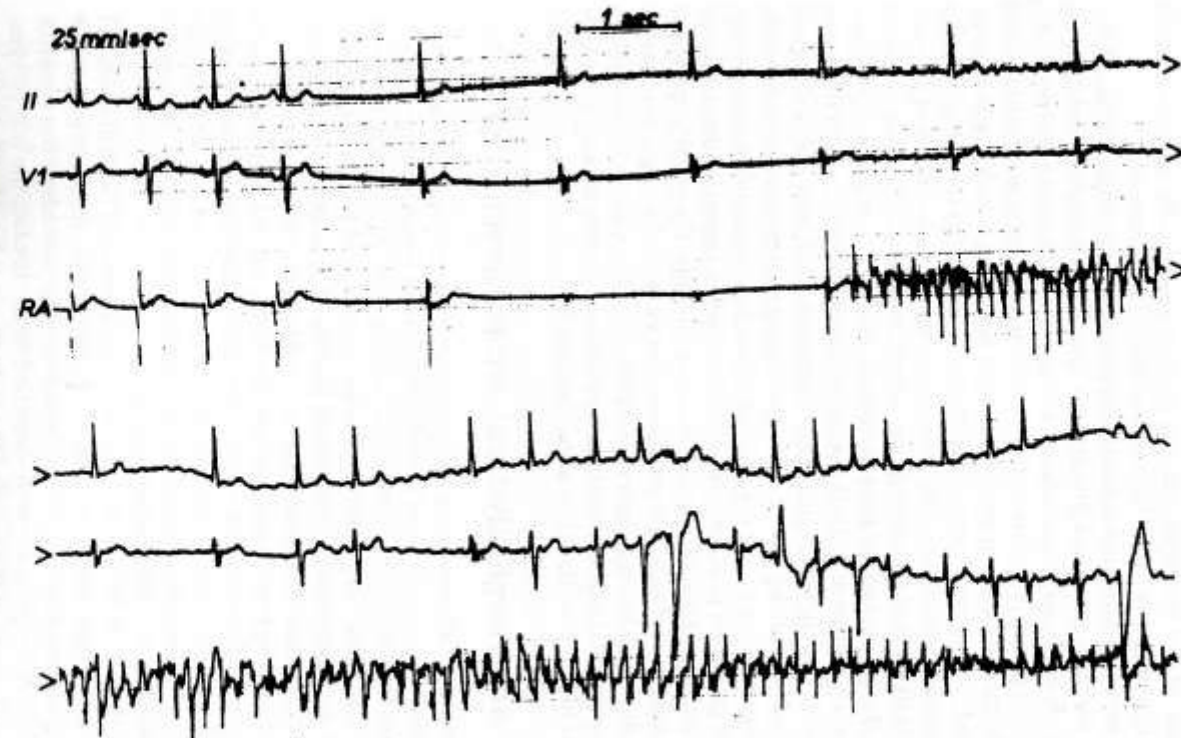
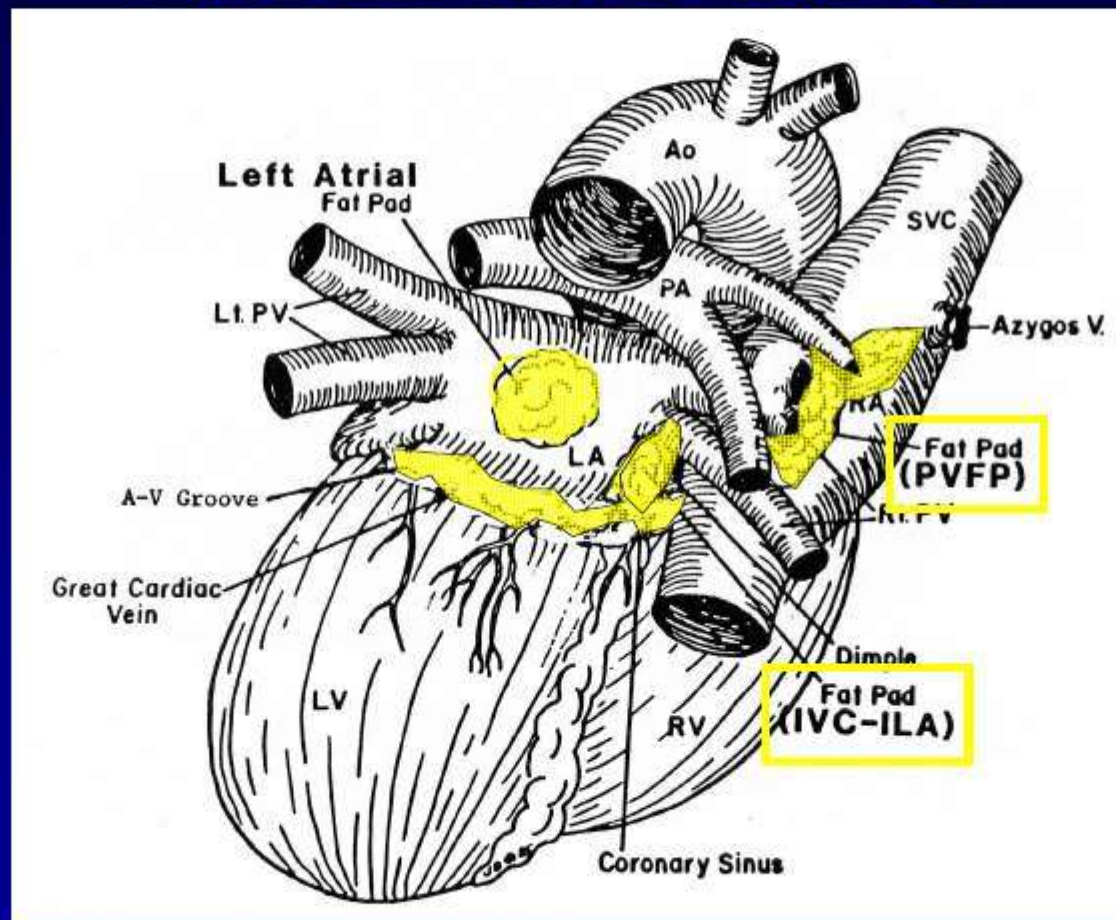


Figure 4. Provoked vagal atrial fibrillation. An eyeball compression induces a sudden and dramatic slowing of the sinus rate, which is clearly responsible for the onset of a paroxysmal atrial fibrillation.

Plexus parasympathiques chez le chien d'après Randall et Ardell (1988)





15 / 29

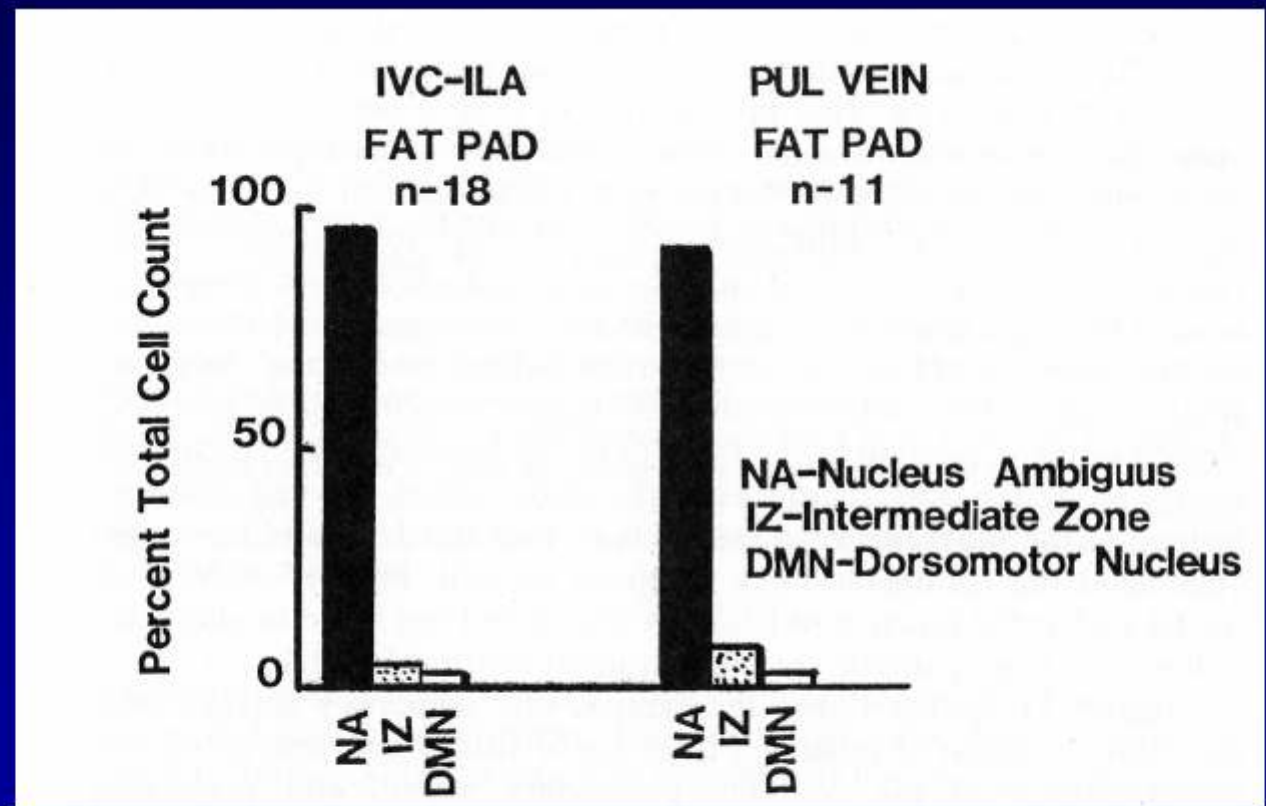


71,6%



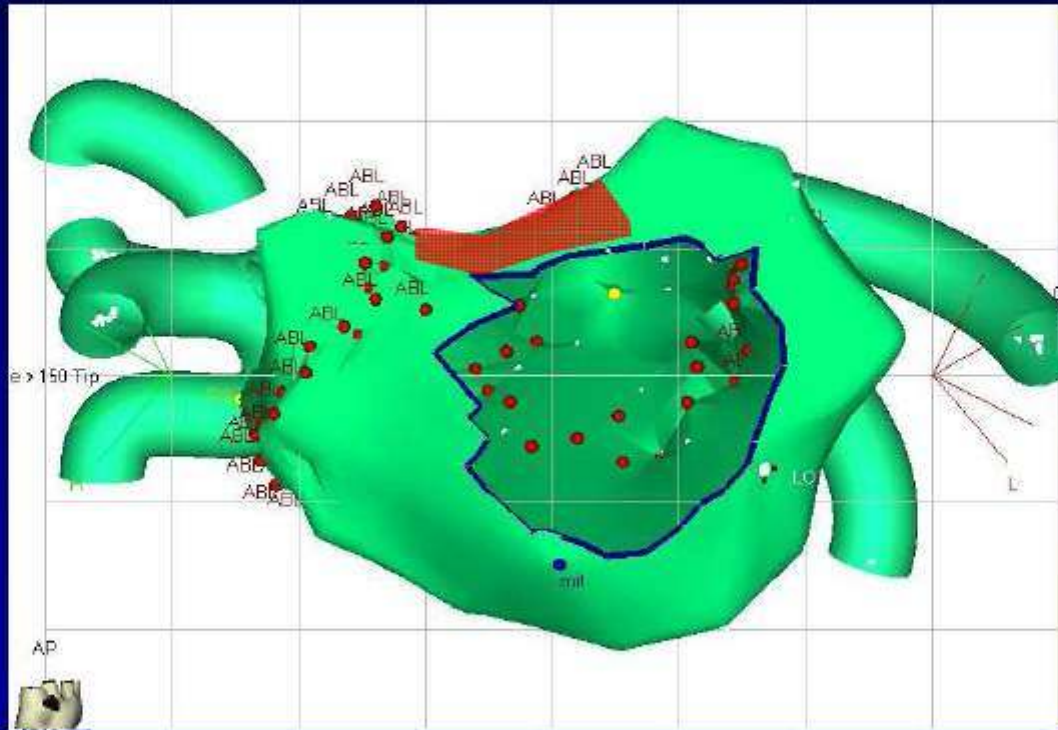
Rechercher

Contre-transport axonal de la peroxydase du raifort chez le chien : localisation neuronale dans le noyau ambigu Tasch et al. (1987)

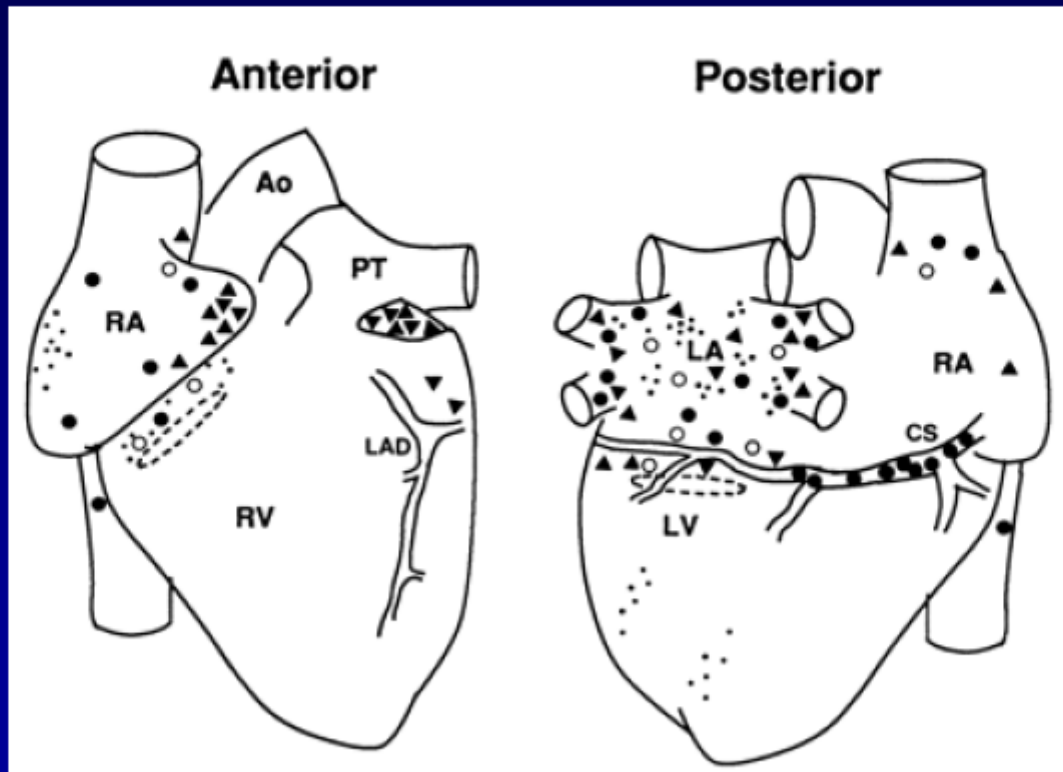


Plexus cardiaques atriaux gauches chez l'homme

adapté d'après Armour JA Anat Rec 1997



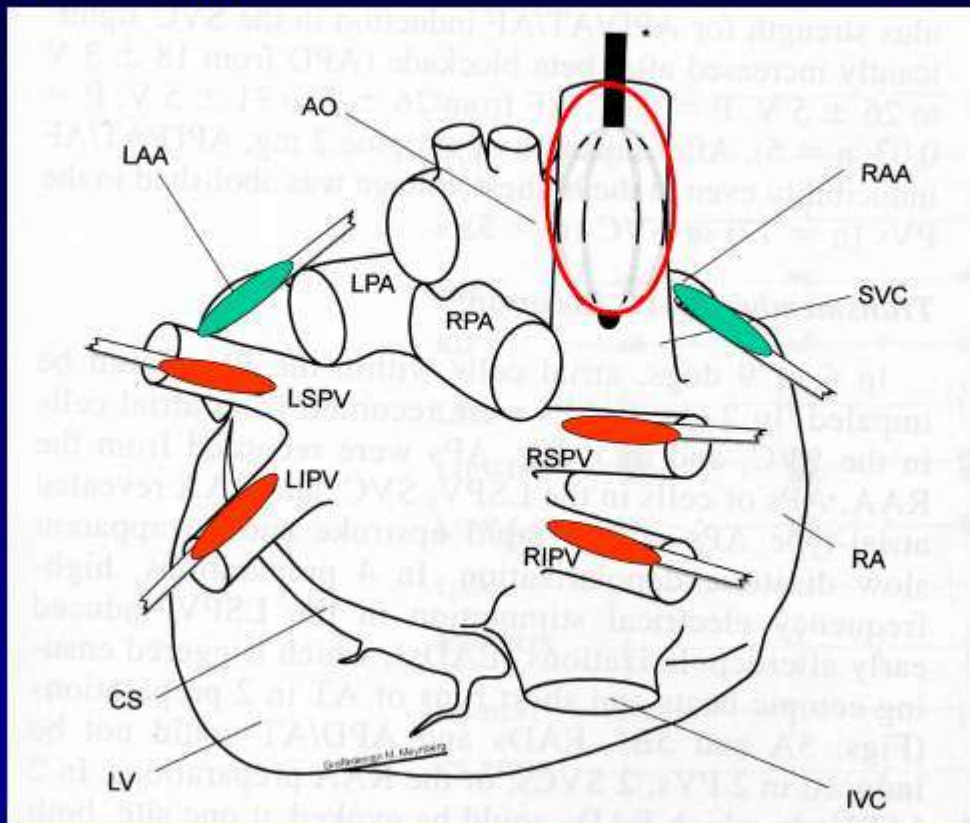
Terminaisons nerveuses cardiaques chez l'homme epicardiques (triangles) endocardiques (cercles), myélinisées et amyéliniques (points)



Marron K et al. Circulation 1995

D LACROIX, LILLE 2008

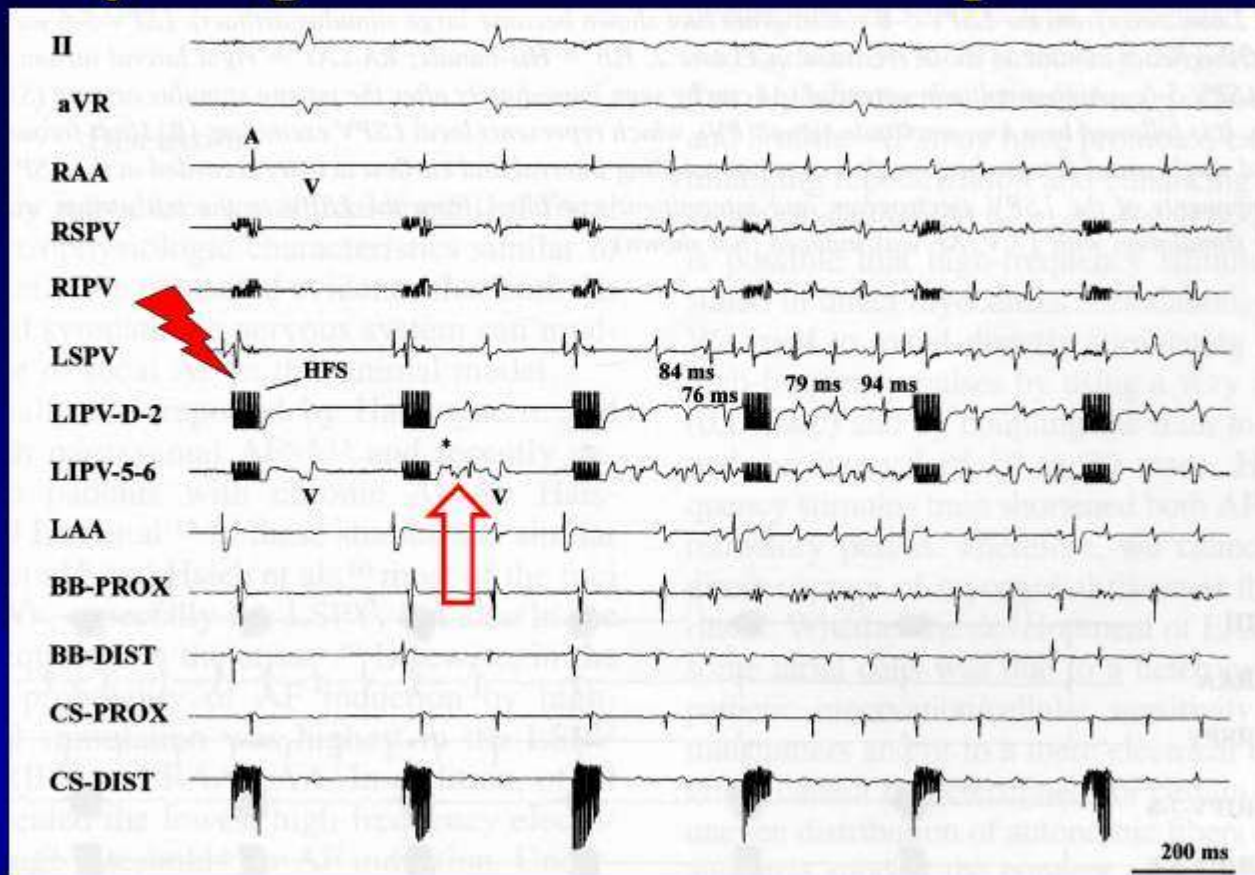
Stimulation électrique HF dans les veines pulmonaires : effet arythmogènes chez le chien SNA dépendants ?



D LACROIX, LILLE 2008

Schauerte P et al. J Cardiovasc Electrophysiol 2001

Stimulation électrique HF dans les veines pulmonaires : effet arythmogènes chez le chien SNA dépendants ? (II)



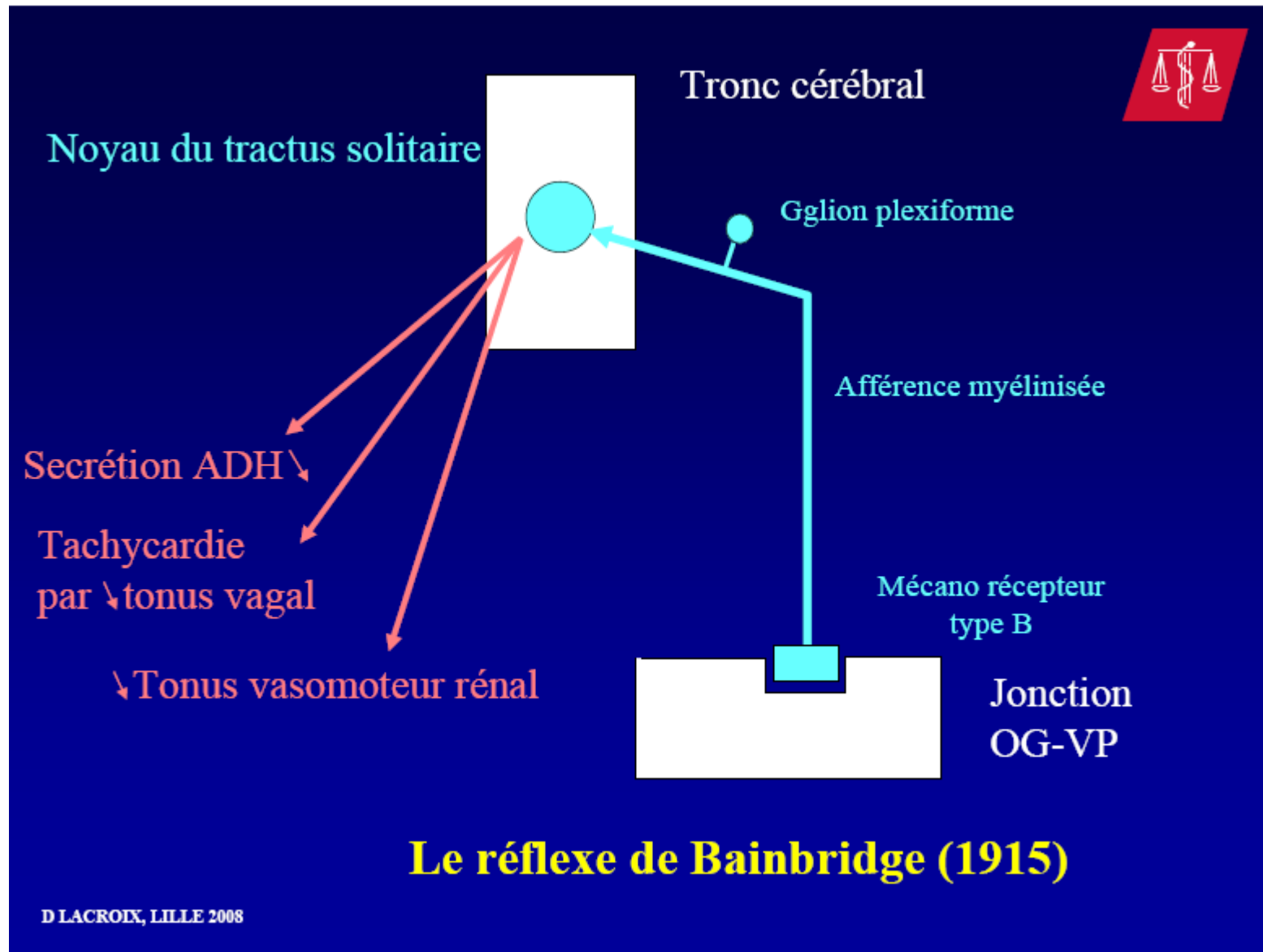
Schauerte P et al. J Cardiovasc Electrophysiol 2001

D LACROIX, LILLE 2008

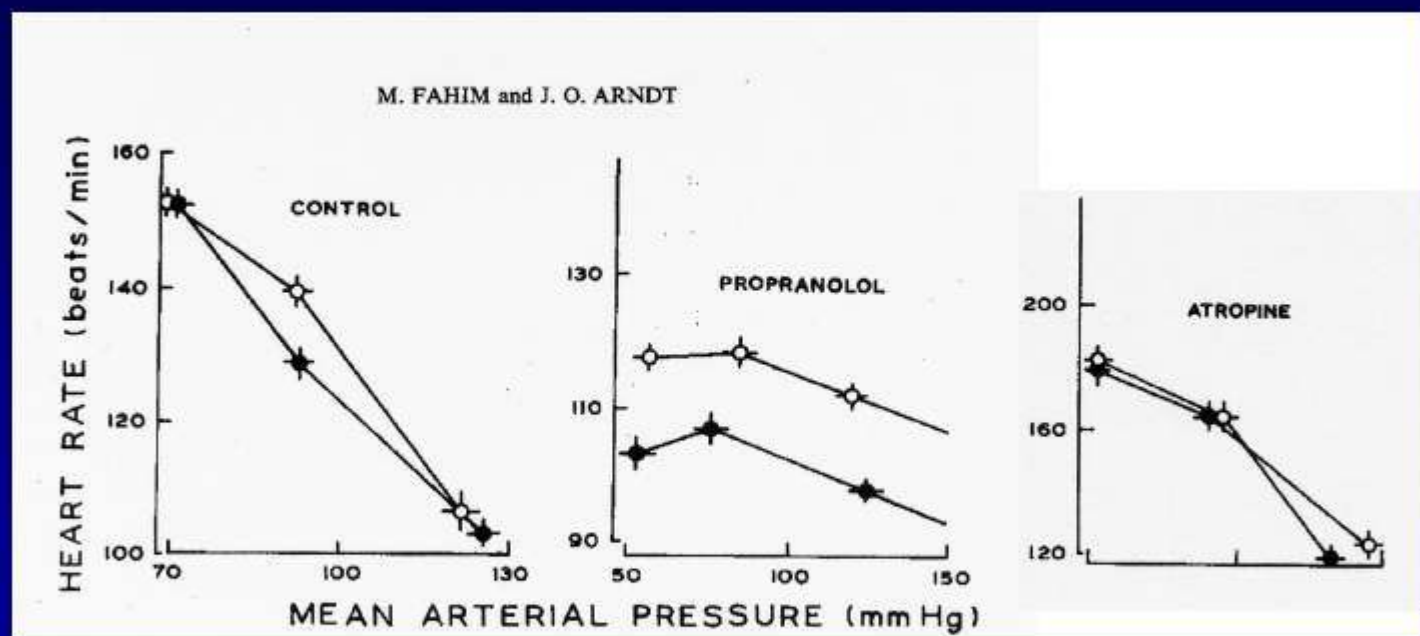
Stimulation électrique HF dans les veines pulmonaires : effet arythmogènes chez le chien SNA dépendants ? (III)

AF-threshold data (V) at baseline and after autonomic blockade

	Baseline	Beta blockade	Atropine
LSPV (n=5)	10 ± 6	15 ± 4	0/5
LIPV (n=5)	11 ± 6	15 ± 10	0/5
RSPV (n=5)	20 ± 10	27 ± 16	0/4
RIPV (n=5)	26 ± 11	34 ± 15	0/3
All PVs (n=20)	16 ± 9	21 ± 13 ***	0/17
SVC (n=8)	26 ± 6	31 ± 59*	0/5



Reflexe de Bainbridge par distension des veines pulmonaires gauches chez le chien

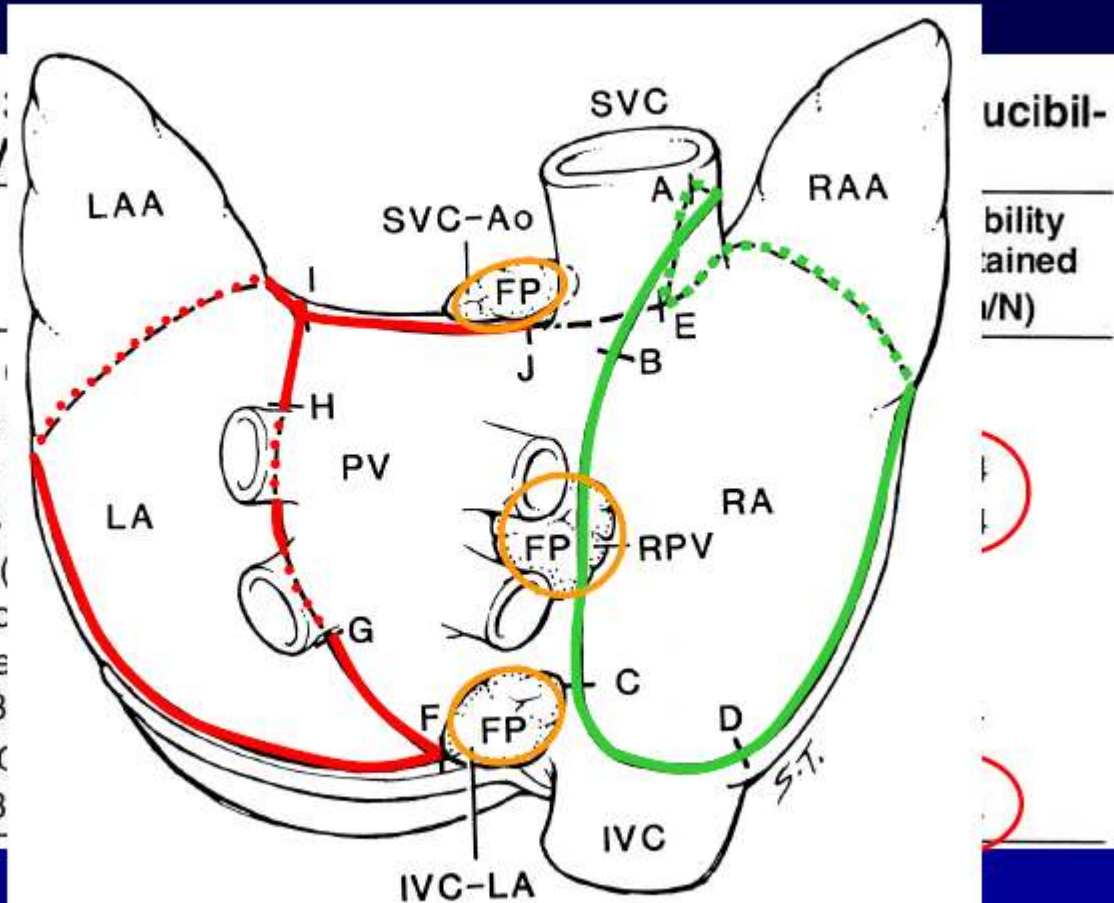


Fahim M, Arndt JO Jpn J Physiol 1990

Dénervation parasympathique chez le chien

TABLE
ity of V

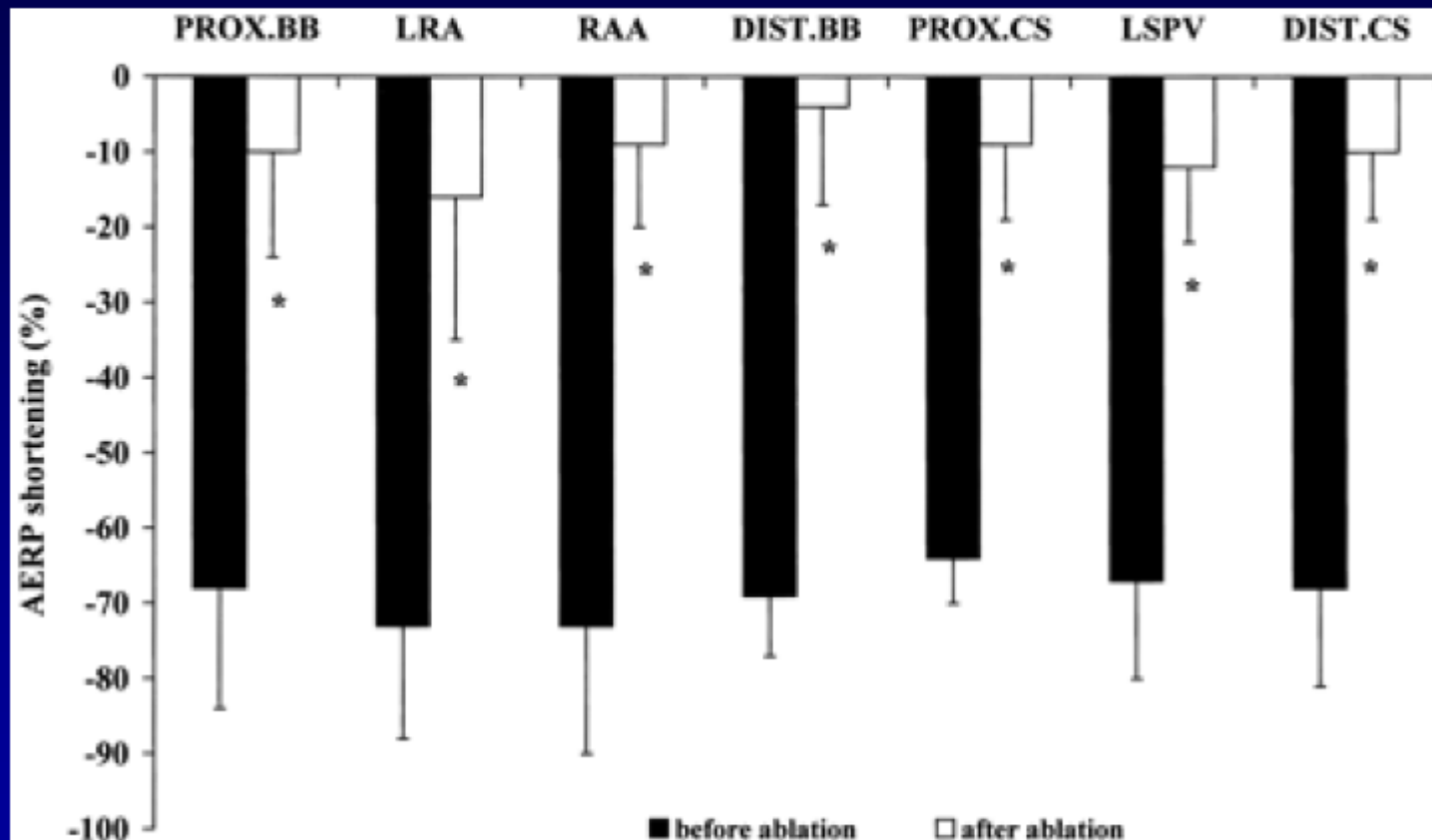
Group 3	RFCA
LA	
RA	
Group 7 (Ablative
Phe	
3	
RFCA	
3	



D LACROIX, LILLE 2008

Chiou CW et al. Circulation 1997

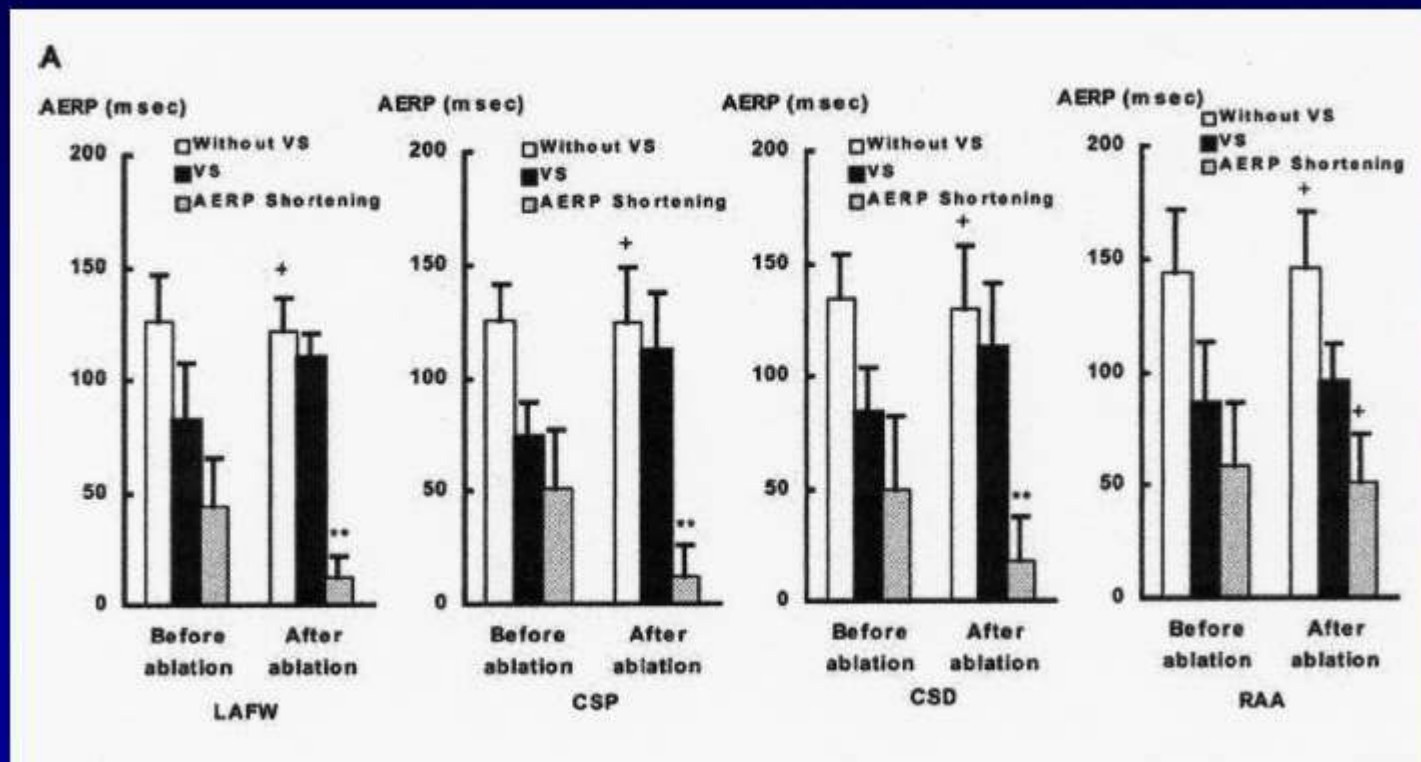
Ablation par RF du 3ème fat pad (+/- les 2 autres) par voie endovasculaire chez le chien



D LACROIX, LILLE 2008

Schauerte P et al. Circulation 2000

Dénervation partielle, SC et auricule gauche après déconnection des VP gauches chez le chien par RF



Razavi M et al. J Cardiovasc Electrophysiol 2005

D LACROIX, LILLE 2008

Tentative de conclusion



- 1. réaction de type « Bezold-Jarisch », dénervation atriale et altérations de la variabilité sinusal sont 3 phénomènes distincts**
- 2. la réaction de type « Bezold-Jarisch » pendant les tirs met en jeu un réflexe nociceptif par stimulation de voies afférentes intra-atriales ou intra-VP**
- 3. l'ablation au pourtour de l'OG ou des VP affecte une partie des efférences parasympathiques innervant l'oreillette gauche chez le chien**
- 4. La dénervation isolée de l'OG n'empêche pas la FA vagale chez le chien**
- 5. pas de données fiables confirmant que des tirs dans l'OG-VP altèrent les efférences vagales à destinée du nœud sinusal**
- 6. pas de données fiables confirmant que des tirs dans OG ou VP altèrent les 3 principaux plexus parasympathiques**

Spéculations...



- 1. la dysautonomie sinusale transitoire observée après tirs OG-VP pourrait être rattachée à un effet « Bainbridge - like » transitoire**
- 2. que cette dysautonomie s'accompagne d'une modification profonde de l'équilibre volémique (vasomotricité rénale, ANP, ADH...) mérite des études ad hoc...**
- 3. *a contrario*, une perturbation durable des volo-reflexes atriaux modifie-t'elle la perception des accès de FA (atténuation des symptômes de type tachycardie-polyurie) et peut-elle expliquer la transformation d'accès symptomatiques en accès asymptomatiques (cf Hindricks et al. Circulation 2005) ?**

SCA lors du transseptal: résolutif sous TNT

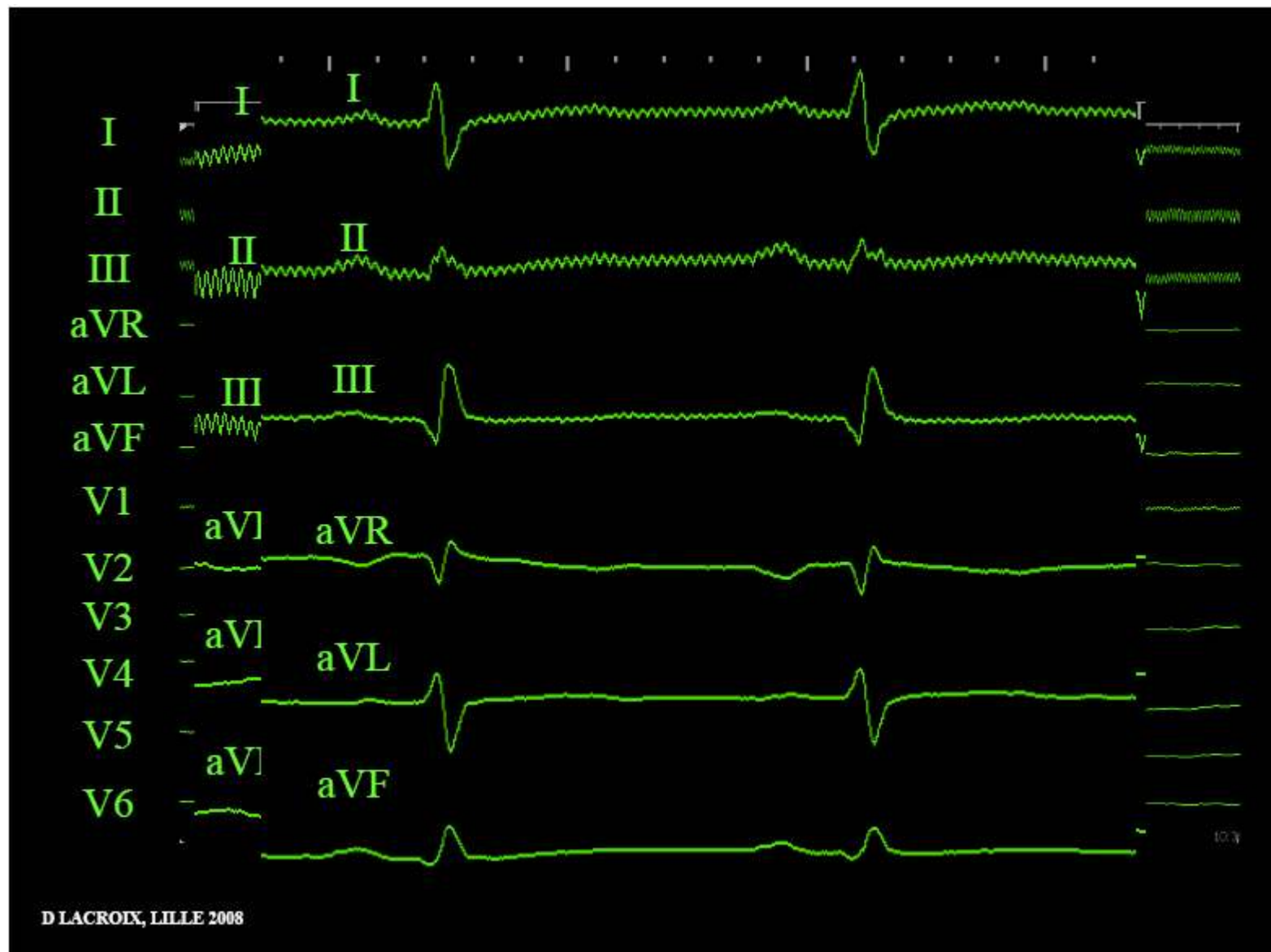
C.H.R.U. LILLE Electrophysio.

15.05.2003

10:58:21



D LACROIX, LILLE 2008



D LACROIX, LILLE 2008